

2列柱体列からの波の反射と透過

大阪市立大学
大阪市立大学
(株)日本科学技術研修所
正員 角野昇八
正員 小田一紀
正員○阿部 功

1. まえがき 2列柱体列と波の干渉問題に関する既往の解としては、大楠による解¹⁾があるが、これは円柱列にしか適用できず、消波工でよく用いられる矩形柱体からなる2列柱体列などには適用できない。本研究では Matched Asymptotic Expansions (MAE) 法を用いて、断面が任意形状の柱体からなる2列柱体列の波の反射率、透過率の理論式を、ポテンシャル流理論の範囲内で求めたのでこれを紹介する。

2. 理論の説明 図-1に対象の構造の概要を示す。

柱体断面は波長に比べて小さく、また l は、柱体列をすぎる流れが一様となる程大きいとする。水深を一定とすると、本問題は、無限遠及び柱体表面における境界条件、及び波の分散の条件の下に2次元ヘルムホルツ方程式の解 $F(x, y)$ を求めるに帰着される。この無限遠での境界条件は $x \rightarrow -\infty$ では入射波と反射波、 $x \rightarrow \infty$ では透過波のみが存在するということであり、これを式で表わすと、 $F(x, y) \rightarrow A_1 e^{ikx} + P A_1 e^{-ikx}$

$(x \rightarrow -\infty) \dots (1)$, $F(x, y) \rightarrow C A_1 e^{ikx} (x \rightarrow \infty) \dots (2)$ となる。

ここで A_1 は入射波の振幅に相当する複素定数、 P はそれぞれ複素反射率、複素透過率である。

MAE法の概念は、本問題では、構造物から遠く離れた点から眺めた解(外的解)、及びスリット近傍で眺めた解(内的解)を各自独立して求め、それらを接合(Matching)して解を見いたそうというものである。まず外的解は、図-2

に示すような平板列構造のまわりの波を考えればよい。これらの波は、① $A e^{ikx}$ (入射波)、② $B e^{-ikx}$ (第1列の不透過部によって反射される波)、③ $P_1 e^{-ikx}$ (第1列のスリット部によって形成される波)、④ $-P_1 e^{ikx}$ (第1列のスリット部によって形成される波)、⑤ $Q_1 e^{-ikx}$ (第2列の不透過部によって反射される波)、⑥ $R_1 e^{ikx}$ (第1列の不透過部によって反射される波)、⑦ $P_2 e^{-ik(x-l)}$ (第2列のスリット部によって形成される波)、⑧ $-P_2 e^{ik(x-l)}$ (第2列柱体列のスリット部によって形成される波)、である。ここで A, B, P_1, Q_1, R_1, P_2 はそれぞれ複素定数で、 k は波数($2\pi/L$, L は波長), i は虚数単位である。スリット部によって形成される波(わきだしによる波と考えることができる)は平面波で表わすことができ、さらにそのわきだし強さを $m=1$ と考える場合はそれは $-i/2kD \cdot e^{ikx}$ と表わされる。³⁾ そこで上の波の $P_1 = -i/2kD_1$ とかす、さらに図-2の平板列をすぎる流れが無いとの境界条件

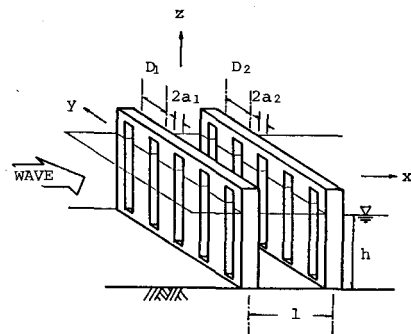


図-1 概要図

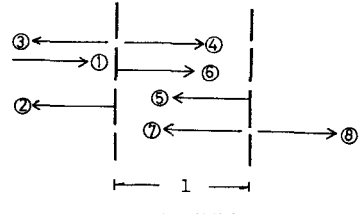


図-2 外的解

件を考慮すれば、上記の複素定数を関係づける式として、 $B = A \dots (3)$, $Q_1 = (-P_1 e^{ikl} + P_2 e^{2ikl}) / (e^{-ikl} - e^{ikl}) \dots (4)$, $R_1 = (P_2 - P_1 e^{ikl}) / (e^{-ikl} - e^{ikl}) \dots (5)$ が得られる。従って例えば、柱体列の沖、岸側の波は、 $F(x, y) = Ae^{ikx} + Ae^{-ikx} + P_1 e^{-ikx} (x \rightarrow \infty) \dots (6)$, $F(x, y) = -P_2 e^{ik(x-l)} (x \rightarrow +\infty) \dots (7)$ と表わすことかでできる。ここで式(1)と式(6), 式(2)と式(7)を等置すれば、 $A = A_I \dots (8)$, $P = 1 + P_1/A_I \dots (9)$, $T = -P_2 e^{ikl}/A_I \dots (10)$ となる。またこのような波(外的解)の Inner Limit はそれそれ柱体列の沖岸両側で、 $F(x, y) \rightarrow 2A - ikx (x \rightarrow 0_-) \dots (11)$, $F(x, y) \rightarrow P_2 e^{ikl} + Q_1 + R_1 - P_1(1+ikx), (x \rightarrow 0_+) \dots (12)$, $F(x, y) \rightarrow -P_1 e^{ikl} + Q_1 e^{-ikl} + R_1 e^{ikl} + P_2 + ikP_2(x-l), (x \rightarrow l_-) \dots (13)$, $F(x, y) \rightarrow P_2 - ikP_2(x-l), (x \rightarrow l_+) \dots (14)$ のように表わされる。さて内的解については図-3に示すような柱体列をすぎる流れを考える。内的解の Outer Limit として、柱体列の沖側では、 $F(x, y) \rightarrow U_j(x - C_j - l_j) + C_{0j} (j=1, 2) \dots (17)$ また岸側では、 $F(x, y) \rightarrow U_j(x + C_j - l_j) + C_{0j} (j=1, 2) \dots (18)$ を採用する。ここで U_j は一様赤道での流速、 C_{0j} は複素定数。 $j=1$ は1列目、 $j=2$ は2列目を指し、また $l_j = 0$ である。さらに C_j は "Blockage Coefficient" と呼ばれる理論定数であり、柱体の断面形状が与えられれば一意的に決まり、柱体表面の境界条件はこの C_j を採用することによって満足されている。Matching はそれそれ柱体列において、外的解の Inner Limit を表わす式と内的解の Outer Limit を表わす式を等置してなされ、その結果、 $A_I (= A)$, P_2 が確定されることになる。これらを(9),(10)へ代入し、さらにその絶対値をとると、反射率 R , 透過率 T が得られる。次式で表わされる。 $R = \sqrt{S/(S+1)} \dots (19)$, $T = \sqrt{1/(S+1)} \dots (20)$, ここで $S = 2R^2C_1^2C_2^2 + R^2C_1^2 + R^2C_2^2 + (-2R^2C_1^2C_2^2 + 2R^2C_1C_2) \times \cos 2kl + (-2R^2C_1^2C_2 - 2R^2C_1C_2^2) \sin 2kl$ である。

3. 計算例、及び大楠の解との比較 図-4に2列の円柱列の反射率 R について、本手法による理論値と大楠の解による値の計算例を示す。これらの場合の C_1 , C_2 としては、昨年の関支講で発表のもの⁴⁾ を用い、また大楠の解における級数項は論文中で指摘されているのと同じく12項までを採用した。また図中には、2列目の柱体列をとり去った1列目の柱体列(その $2a_1/D_1$, D/L は2列の場合と同じ条件)のみによる R の値³⁾ も示した。同図によれば、両手法による値はよく一致しており、本手法の妥当性が示されている。さらに2列と1列の場合の解を比較すると、その値は大きく異なり、したがって2列と1列とではその周辺の波浪の挙動は全く異なることがわかる。

参考文献 1) 大楠、西部造船会会報51号、1976
in Fluid Mechanics, Academic Press, 1964 2) Van Dyke, Perturbation Method
3) 角野他, 第31回海講, 1983

4) 角野他, 関支講, 1984

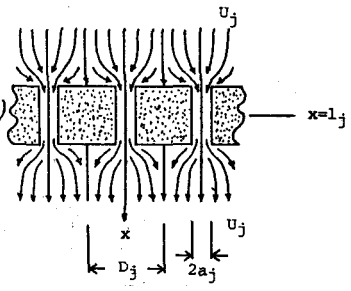


図-3 内的解

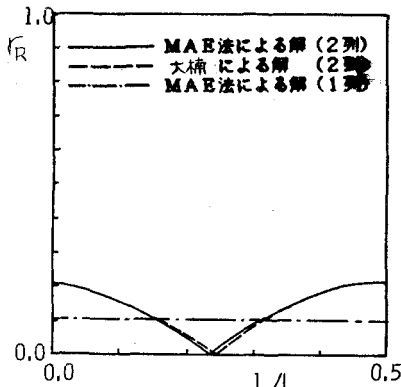


図-4 本手法による理論値と大楠の解の値 ($D_1/L = D_2/L = 0.01$, $2a_1/D_1 = 2a_2/D_2 = 0.5$)